## \_\_\_\_\_ ОБЩАЯ ЭКСПЕРИМЕНТАЛЬНАЯ \_\_\_\_ ТЕХНИКА

УЛК 535.361

# ДОСТИЖЕНИЕ 85-КИЛОМЕТРОВОЙ ДАЛЬНОСТИ ИЗМЕРЕНИЙ ДЕФОРМАЦИИ (ТЕМПЕРАТУРЫ) С ПОМОЩЬЮ НИЗКОКОГЕРЕНТНОЙ РЭЛЕЕВСКОЙ РЕФЛЕКТОМЕТРИИ<sup>1</sup>

© 2020 г. М. А. Таранов $^{a,b,*}$ , Б. Г. Горшков $^{c}$ , А. Э. Алексеев $^{b}$ 

<sup>а</sup> Общество с ограниченной ответственностью "ПетроФайбер" Россия, 301664, Новомосковск Тульской обл., Клинский проезд, 7 <sup>b</sup> Фрязинский филиал Института радиотехники и электроники им. В.А. Котельникова РАН Россия, 141190, Фрязино Московской обл., пл. Введенского, 1

<sup>c</sup> Институт общей физики им. А.М. Прохорова РАН Россия, 119991, Москва, ул. Вавилова, 38

\*e-mail: tarma@petrofibre.ru Поступила в редакцию 10.02.2020 г. После доработки 25.02.2020 г. Принята к публикации 26.02.2020 г.

Продемонстрирована возможность измерения деформации (температуры) на дальностях до 85 км с доступом к оптическому волокну с одного конца при помощи технологии низкокогерентной рэлеевской рефлектометрии. Указанная дальность обеспечена использованием рамановского усиления излучения в комбинации с усилением с помощью встроенных в измеряемую линию коротких сегментов волокна, легированного эрбием.

Возможность перестройки низкокогерентного источника в широком интервале длин волн позволила проводить измерения деформации в диапазоне 500 мкм  $\cdot$  м $^{-1}$ , что эквивалентно 56°C в единицах температуры. При времени единичного измерения 10 мин и пространственном разрешении 2.6 м стандартная неопределенность измерений деформации составила 3.8 мкм  $\cdot$  м $^{-1}$ , температуры — 0.42°C.

**DOI:** 10.31857/S0032816220040187

## 1. ВВЕДЕНИЕ

Распределенные измерения деформации (температуры) являются современным высокоинформативным методом мониторинга структурного состояния (Structural Health Monitoring — SHM) объектов, имеющих значительные размеры: мостов, трубопроводов, плотин, эстакад и других сооружений инфраструктуры. Традиционно для этих целей используются распределенные датчики, действие которых основано на регистрации рассеяния Мандельштама—Бриллюэна: BOTDR (Brillouin Optical Time Domain Reflectometer), а также BOTDA (Brillouin Optical Time Domain Analyzer) [1, 2].

Последние отличаются высокой технической сложностью и используют петлевую (loop) конфигурацию волоконно-оптической линии, измерения в которой производятся только на полови-

не длины. В этом смысле BOTDR обладают преимуществом, поскольку для их работы требуется однонаправленная (single-ended) линия.

Было продемонстрировано, что для BOTDR за счет использования встроенного в линию усилителя на основе оптического волокна, легированного эрбием (Erbium Doped Fiber Amplifier — EDFA), достижима дальность действия до 50 км [3]. При этом пространственное разрешение составило 5 м, а стандартная неопределенность измерений деформации —  $23 \text{ мкм} \cdot \text{m}^{-1}$ , температуры —  $1.08^{\circ}\text{C}$ .

Такие точностные показатели типичны для коммерческих BOTDR, однако не всегда удовлетворяют требованиям мониторинга объектов инфраструктуры. Дальнейшее увеличение дальности ограничено нелинейными эффектами, которые приводят к быстрому истощению (depletion) распространяющегося излучения (по мощности и форме спектра) [3].

Сравнительно новыми являются датчики механических и температурных воздействий, основанные на регистрации и сопоставлении друг с

Результаты данного исследования были представлены и обсуждены на третьей международной конференции "Оптическая рефлектометрия, метрология и сенсорика 2020" (http://or-2020.perms.ru/, 22—24 сентября, Россия, Пермы).

другом спектров рассеяния Рэлея [4–6]. В работе [7] нами предложена технология использования низкокогерентной рэлеевской рефлектометрии с перестройкой длины волны излучения с помощью управляемого от компьютера узкополосного фильтра, выполненного по технологии микроэлектромеханическая система (м.э.м.с.).

Такой фильтр позволил изменять длину волны в довольно широком интервале ( $\pm 3$  нм относительно 1558 нм), обеспечив тем самым возможность измерений в промышленном диапазоне величин деформации (сотен мкм · м $^{-1}$ ) и температуры (десятков градусов Цельсия) оптического волокна (о.в.). При пространственном разрешении порядка 1 м стандартная неопределенность измерений составила 2.2 мкм · м $^{-1}$  (0.24°C); дальность действия — 8 км. Использование рамановского усиления в измеряемом о.в. позволило увеличить дальность до 25 км, которой все еще может быть недостаточно, например, для мониторинга нефте- и газопроводов.

Измерительные характеристики изученного в [7] датчика ограничены, главным образом, нелинейными эффектами в о.в., приводящими к уширению спектра зондирующего излучения [8]. При некотором их уровне удается достичь удовлетворительных точностных показателей на дальности до 25 км.

Ранее продемонстрировано, что совместное применение рамановского усиления и усиления за счет встроенных в волоконно-оптическую линию коротких сегментов волокна, легированного эрбием (Erbium Doped Fiber — EDF), позволяет существенно (до 100 км) увеличить дальность действия распределенного датчика вибраций (Distributed Vibration Sensor — DVS) [9]. Ввиду того что разработанная нами технология низкокогерентной рефлектометрии использует только С-диапазон длин волн (1530—1565 нм), есть основания полагать, что применение указанных в [9] мер позволит значительно улучшить метрологические характеристики описанной в [8] схемы.

Цель настоящей работы состояла в максимальном увеличении дальности действия распределенного датчика деформации (температуры) путем использования низкокогерентной рефлектометрии одновременно с рамановским усилением и за счет дистанционно накачиваемых, встроенных в линию эрбиевых усилителей (Remotely Optically Pumped Amplifier – ROPA).

#### 2. ЭКСПЕРИМЕНТ

Принцип действия датчиков деформации (температуры) на основе рэлеевской рефлектометрии строится на том, что при растяжении/сжатии, а также нагревании/охлаждении о.в. происходит смещение спектров рассеяния Рэлея. Под этим

термином принято понимать спектр мощности обратно рассеянного излучения с выбранной пространственной ячейки (элемента пространственного разрешения) о.в., зарегистрированный в процессе перестройки длины волны зондирующего излучения.

С точки зрения рефлектометрии такой спектр представляет собой поперечное (вдоль оси длин волн) сечение массива рефлектограмм в интересующей продольной координате (ось расстояний). При условии, что приложенное воздействие — изменение натяжения или температуры — распределено равномерно вдоль пространственной ячейки о.в., смещение спектра рассеяния Рэлея относительно исходного положения пропорционально этому воздействию [4].

Таким образом, задача измерений сводится к определению величины смещения спектра с последующим ее пересчетом в искомые единицы, используя следующие коэффициенты чувствительности: к деформации — 1.2 пм (мкм · м $^{-1}$ ) $^{-1}$  или температуре — 10.8 пм · °С $^{-1}$  (в С-диапазоне длин волн) [7]. Величина смещения может быть рассчитана, например, с помощью корреляционного анализа, подробно описанного в [5, 7].

Схема экспериментальной установки представлена на рис. 1. В качестве источника излучения использовался работающий на длине волны 1558 нм суперлюминесцентный диод *СЛД* марки SLD-761 (Superlum, Ирландия) с максимальной мощностью 1 мВт и непрерывным спектром шириной 15 нм (полная ширина на половине высоты (п.ш.п.в.)).

Генерируемые  $C\!I\!I\!J$  оптические импульсы подавались на вход широкополосного усилителя  $Y_1$  на основе волокна, легированного эрбием, после чего подвергались спектральной селекции с помощью перестраиваемого м.э.м.с.-фильтра  $I\!I\!D_1$  марки MTF500A (DiCon Fiberoptics, США) с шириной полосы пропускания 0.35 нм (п.ш.п.в.). Таким образом,  $I\!I\!D_1$  выступал формирователем спектра зондирующего излучения.

Акустооптический модулятор AOM позволял пропускать импульсы далее в оптическую схему, блокируя нестационарное спонтанное излучение  $Y_1$  — мешающий фактор при фотоприеме сигнала обратного рассеяния.

Поляризационный скремблер  $\Pi C_1$  марки PSM-002 (General Photonics, США) использовался для деполяризации излучения, которое затем подавалось на вход усилителя  $Y_2$ , конструктивно схожего с  $Y_1$ , для компенсации потерь в AOM (порядка 6 дБ).

Сформированное трактом  $CЛД-У_1-\Pi\Phi_1-AOM-\Pi C_1-V_2$  зондирующее излучение вводилось в измеряемую волоконно-оптическую линию через циркулятор OU и одно из плеч спектрального

мультиплексора CM (с диапазоном пропускания 1529—1630 нм). Через второе плечо CM (1460—1510 нм) от лазера  $\mathcal{I}H$  (FITEL FOL1425 с рабочей длиной волны 1480 нм, Furukawa Electric Co., Япония) подавалось излучение накачки для организации усиления в линии. Скремблер  $\mathcal{I}C_2$ , аналогичный  $\mathcal{I}C_1$ , был включен в схему для деполяризации излучения  $\mathcal{I}H$ .

Измеряемая линия состояла из четырех соединенных между собой бухт одномодового о.в. длиной по 25 км ( $E_1$ ,  $E_2$  и  $E_4$ ) и 10 км ( $E_3$ ), соответствующего спецификации ITU-T G.652. Рамановское усиление организовывалось только в  $E_1$ .

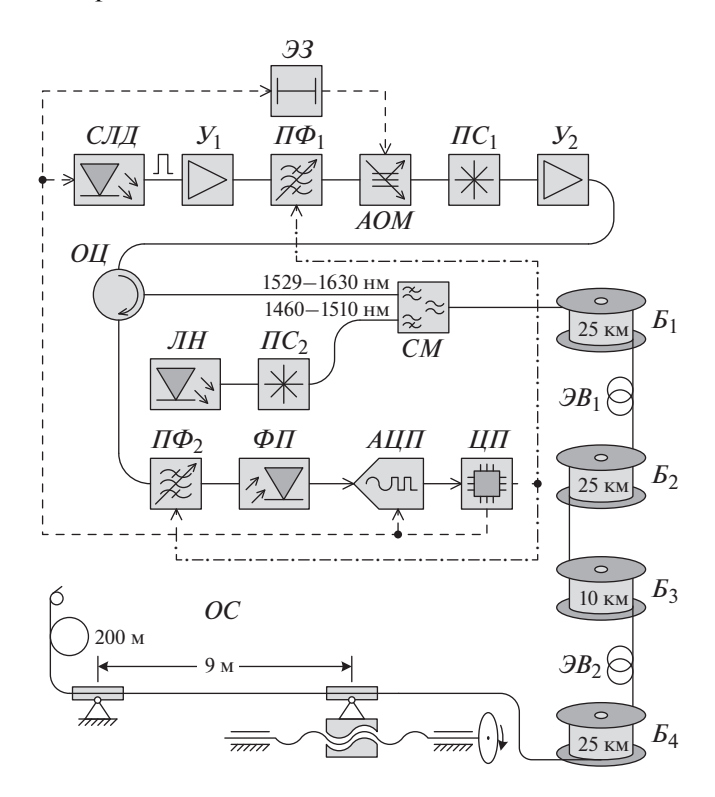
Для усиления излучения с использованием удаленной накачки на входе бухт  $B_2$  и  $B_4$  размещались сегменты легированного эрбием волокна  $\mathcal{B}B_1$  и  $\mathcal{B}B_2$  (ROPA). Оконечный сегмент линии  $\mathcal{OC}$  представлял собой бухту длиной около 200 м и предшествующую ей прямую 9-метровую секцию, размещавшуюся в механизме, позволявшем изменять ее деформацию с высокой точностью.

Обратно рассеянное в линии излучение через OII подавалось на вход перестраиваемого м.э.м.с.-фильтра  $\Pi\Phi_2$  марки MTF500B (DiCon Fiberoptics, США), ширина полосы пропускания которого составляла 0.17 нм (п.ш.п.в.). Затем оно регистрировалось фотоприемником  $\Phi\Pi$  — модулем на основе лавинного фотодиода. Электрический сигнал  $\Phi\Pi$  с полосой 16 МГц трансформировался в цифровой вид аналого-цифровым преобразователем AIII, после чего подавался в центральный процессор III для обработки.

Помимо обработки,  $\Pi$  осуществлял управление  $\Pi\Phi_1$  и  $\Pi\Phi_2$  через общую шину (отмечена на рис. 1 штрихпунктиром), согласовывая тем самым спектр пропускания приемного тракта со спектром зондирующего излучения. Элемент задержки 93 обеспечивал отпирание и запирание AOM синхронно с приходом импульса излучения от  $C\Pi$ .

Частота работы  $A \coprod \Pi$  100 МГц задавала величину шага выборки по оси расстояний, равную 1.02 м с учетом группового показателя преломления о.в. (приблизительно 1.47 в С-диапазоне длин волн). Длительность импульса  $C \coprod \Pi$  была приблизительно 25 нс (п.ш.п.в.); частота повторения определялась длиной измеряемой волоконной линии.

 $Y_1$  и  $Y_2$  были настроены таким образом, что импульсная мощность излучения на входе OU достигала 1300 мВт. Дальнейшее ее увеличение приводило к ухудшению точностных характеристик. Мощность излучения JH составляла 380 мВт. При этом длины JH (1.5 м) и JH2 (3 м) были подобраны так, чтобы сигнал обратного рассеяния из JH2 был энергетически сопоставим с таковым из JH3.

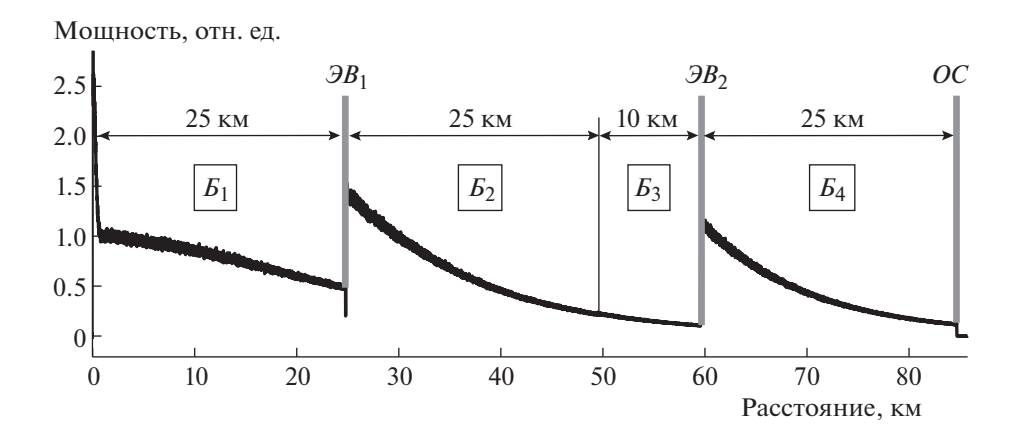


**Рис. 1.** Схема экспериментальной установки. CЛД — суперлюминесцентный диод;  $Y_1$ ,  $Y_2$  — оптические усилители на основе волокна, легированного эрбием;  $\Pi\Phi_1$ ,  $\Pi\Phi_2$  — перестраиваемые м.э.м.с.-фильтры; AOM — акустооптический модулятор;  $\Pi C_1$ ,  $\Pi C_2$  — поляризационные скремблеры; OU — оптический циркулятор; JH — лазер накачки; CM — спектральный мультиплексор;  $E_1$ — $E_4$  — бухты о.в.;  $E_1$ = $E_4$ 0 — оконечный сегмент;  $E_1$ = $E_4$ 0 фотоприемник;  $E_1$ = $E_4$ 0 — оконечный сегмент;  $E_1$ = $E_4$ 0 фотоприемник;  $E_1$ = $E_4$ 0 — аналого-цифровой преобразователь;  $E_1$ = $E_4$ 0 — центральный процессор;  $E_1$ 0 — элемент задержки. Штриховой линией обозначена шина синхронизации; штрихпунктирной — шина управления перестраиваемыми фильтрами.

Принятые меры позволили получить в целом оптимальное отношение сигнал/шум в регистрируемых спектрах рассеяния Рэлея по всей длине измеряемой линии. Пространственное разрешение составляло приблизительно 2.6 м (с учетом группового показателя преломления о.в., равного 1.47).

На рис. 2 приведена типичная рефлектограмма, полученная с помощью экспериментальной установки. Присутствующие в ней флуктуации с размахом около 10% от средней мощности характерны для низкокогерентной рефлектометрии [7]. Форма сигнала из  $\mathcal{E}_1$  обусловлена, с одной стороны, рамановским усилением в этой бухте, с другой — фазовой самомодуляцией и 4-волновым смешением, доминирующими в начале бухты (резкий пик на первых 700-800 м) [8].

Измерения проводились в следующей последовательности: регистрировались спектры рассеяния Рэлея при исходных условиях (так называемые

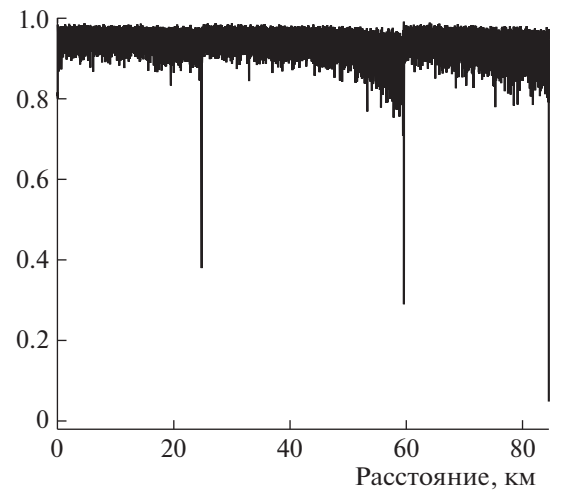


**Рис. 2.** Типичная рефлектограмма, регистрируемая экспериментальной установкой (длина волны 1558 нм).  $B_1 - B_4 -$ бухты о.в.;  $\partial B_1$ ,  $\partial B_2 -$ секции волокна, легированного эрбием; OC -оконечный сегмент.

опорные спектры), затем натяжение сегмента OC длиной 9 м увеличивалось, после чего проводилась повторная регистрация спектров (измерительные). Диапазон перестройки длины волны составлял 1555-1561 нм при исходных условиях и 1556.5-1559.5 нм при повторной регистрации; шаг был выбран равным 0.05 нм. Время регистрации опорных спектров составляло 20 мин, измерительных -10 мин.

Поскольку для серии измерений достаточно было однократной регистрации опорных спектров, время единичного измерения фактически ограничивалось только периодом сбора измерительных спектров. Проводя корреляционный ана-

## Коэффициент корреляции



**Рис. 3.** Коэффициент корреляции (максимальное значение нормированной взаимно-корреляционной функции) опорных и измерительных спектров вдоль волоконно-оптической линии. Сильные выбросы вниз соответствуют неинформативным участкам с  $\mathcal{B}B_1$  и  $\mathcal{B}B_2$ .

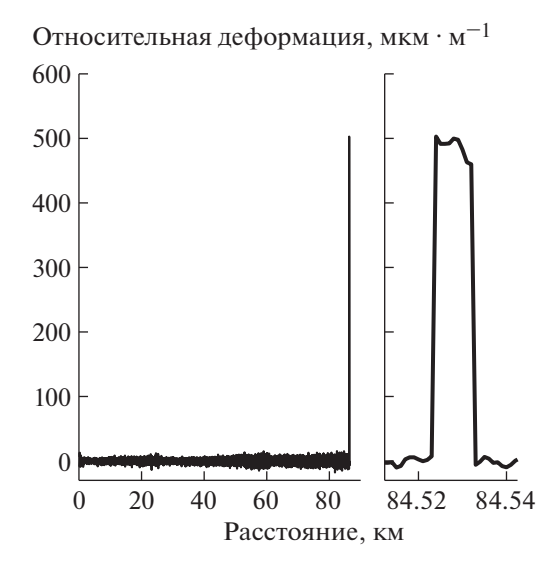
лиз накопленных данных, *ЦП* рассчитывал искомую величину смещения измерительного спектра относительно опорного для каждой точки волоконно-оптической линии, пересчитывая затем это смещение в единицы деформации. Диапазон перестройки длины волны для регистрации опорных спектров был выбран вдвое большим, чем для регистрации измерительных, во избежание деградации взаимно-корреляционной функции спектров при измерении натяжения 9-метровой секции о.в.

Получаемые с помощью экспериментальной установки опорные и измерительные спектры отличались высокой степенью взаимной корреляции (характеризуется коэффициентом корреляции, рис. 3) вдоль всей волоконно-оптической линии, что косвенно свидетельствовало о хороших измерительных характеристиках устройства.

### 3. РЕЗУЛЬТАТЫ ЭКСПЕРИМЕНТА

Для оценки качества работы экспериментальной установки была проведена серия измерений деформации 9-метровой секции OC. С помощью механизма, содержащего микрометрический винт, схематично изображенного на рис. 1, величина деформации ступенчато повышалась до  $500 \text{ мкм} \cdot \text{m}^{-1}$  с шагом  $100 \text{ мкм} \cdot \text{m}^{-1}$ . Расчет деформации проводился по зарегистрированным на каждом этапе измерительным спектрам. Опорные же спектры были накоплены предварительно — до оказания воздействия на секцию. Результаты одного из таких измерений представлены на рис. 4.

Как видно, измерительные шумы возрастают при приближении к концам  $E_1$ ,  $E_3$  и OC. Их среднеквадратическое отклонение, равное стандартной неопределенности измерений, в худшем случае (конец  $E_3$  и OC) составляет около 3.8 мкм · м<sup>-1</sup>. Показания экспериментальной установки в пре-



**Рис. 4.** Измеренное изменение относительной деформации вдоль волоконно-оптической линии (вставка соответствует местоположению натягиваемой секции; заданная деформация  $500~{\rm mkm\cdot m^{-1}}$ ; размерности единиц — те же, что и на основном графике). Неинформативные результаты в местах расположения  $\mathcal{I}$  и  $\mathcal{I}$  у  $\mathcal$ 

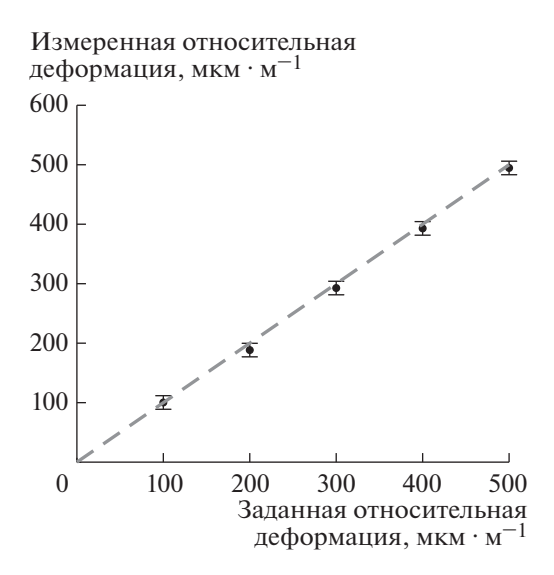
делах 9-метровой секции соответствуют ее реальной деформации (500 мкм  $\cdot$  м $^{-1}$ ).

На рис. 5 приведена зависимость между измеренной деформацией и ее реальными значениями. Высокая линейность и низкая измерительная неопределенность говорят о хорошем качестве экспериментальной установки как датчика.

Неравномерность измерительных шумов вдоль волоконно-оптической линии обусловливает зависимость неопределенности измерений от расстояния. Рис. 6 дает наглядное представление о характере такой зависимости. Изображенная оценка получена методом скользящего среднеквадратического отклонения по 500 отсчетам, что соответствует пространственной протяженности 510 м. Входными выступают данные рис. 4, а также результаты, полученные аналогичным образом с помощью модифицированной версии экспериментальной установки.

Модификация состояла в уменьшении длительности импульса  $C\mathcal{I}\mathcal{I}$  до 10.5 нс, замене  $\Phi II$  на более быстродействующий модуль с полосой 50 МГц и укорочении  $\mathcal{I}\mathcal{I}\mathcal{I}\mathcal{I}\mathcal{I}\mathcal{I}$  до 1.75 м с целью достижения лучшего пространственного разрешения (порядка 1 м) при неизменном времени единичного измерения и схожих метрологических характеристиках. Ценой стало уменьшение дальности действия на 10 км (была исключена  $\mathcal{I}\mathcal{I}\mathcal{I}\mathcal{I}\mathcal{I}\mathcal{I}\mathcal{I}$ ).

Полученные характеристики показывают преимущества датчиков данного типа в сравнении с

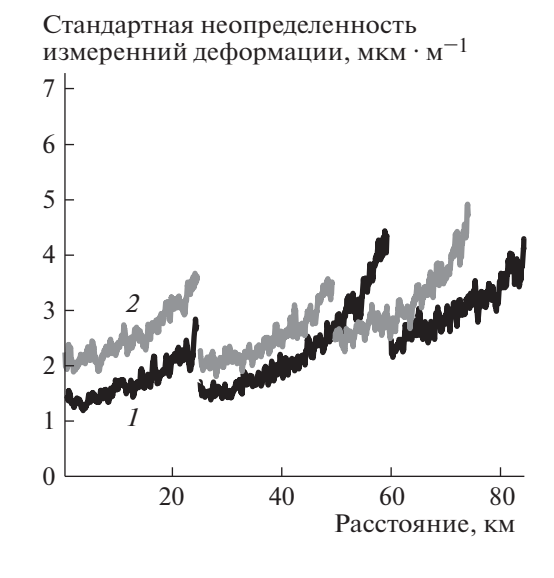


**Рис. 5.** Зависимость между измеренной деформацией 9-метровой секции *OC* и ее реальными значениями (штриховой линией отмечена идеализированная характеристика; перемычки соответствуют диапазону  $\pm 3$  стандартных неопределенности —  $\pm 11.4$  мкм · м<sup>-1</sup>).

BOTDR, а также говорят о перспективности их применения для мониторинга объектов инфраструктуры, имеющих значительную протяженность.

#### 4. ЗАКЛЮЧЕНИЕ

Использование рамановского усиления излучения в совокупности с усилением за счет встро-



**Рис. 6.** Оценка стандартной неопределенности измерений деформации вдоль волоконно-оптической линии для экспериментальной установки с пространственным разрешением: I-2.6 м; 2- порядка 1 м. Разрывы соответствуют местоположению  $\mathcal{B}B_1$  и  $\mathcal{B}B_2$ .

енных в линию сегментов волокна, легированного эрбием, позволило проводить измерения деформации на расстояниях до 85 км в диапазоне  $500 \, \text{мкм} \cdot \text{м}^{-1}$ , что эквивалентно  $56^{\circ}\text{C}$  при пересчете в единицы температуры (коэффициент пересчета равен  $9 \, (\text{мкм} \cdot \text{м}^{-1}) \cdot {}^{\circ}\text{C}^{-1}$ , как следует из приведенных выше коэффициентов чувствительности). При времени единичного измерения  $10 \, \text{мин}$  и пространственном разрешении  $2.6 \, \text{м}$  стандартная неопределенность измерений деформации составила  $3.8 \, \text{мкм} \cdot \text{m}^{-1}$ , температуры  $-0.42^{\circ}\text{C}$ . Схожие точностные показатели достигаются и при пространственном разрешении порядка  $1 \, \text{м}$ , однако дальность действия снижается до  $75 \, \text{км}$ .

#### ФИНАНСИРОВАНИЕ РАБОТЫ

Работа выполнена частично в рамках государственного задания.

#### СПИСОК ЛИТЕРАТУРЫ

1. *Kurashima T., Horiguchi T., Tateda M.* // Opt. Lett. 1990. V. 15. № 18. P. 1038. https://doi.org/10.1364/OL.15.001038

- 2. Parker T.R., Farhadiroushan M., Feced R., Handerek V.A., Rogers A.J. // IEEE J. Quant. Electron. 1998. V. 34. № 4. P. 645. https://doi.org/10.1109/3.663443
- 3. Lalam N., Ng W.P., Dai X., Wu Q., Fu Y.Q. // 16th IEEE SENSORS Conference ICSENS 2017. (29 Oct.—1 Nov. 2017). Glasgow, United Kingdom. P. 1. https://doi.org/10.1109/ICSENS.2017.8233878
- 4. *Froggatt M.*, *Moore J.* // Appl. Opt. 1998. V. 37. № 10. P. 1735. https://doi.org/10.1364/AO.37.001735
- 5. *Koyamada Y., Imahama M., Kubota K., Hogari K.* // J. Light. Technol. 2009. V. 27. № 9. P. 1142. https://doi.org/10.1109/JLT.2008.928957
- 6. *Liehr S., Münzenberger S., Krebber K.* // Opt. Express. 2018. V. 26. № 8. P. 10573. https://doi.org/10.1364/OE.26.010573
- 7. *Gorshkov B.G., Taranov M.A., Alekseev A.E.* // Laser Phys. 2017. V. 27. № 8. P. 085105. https://doi.org/10.1088/1555-6611/aa792f
- 8. *Gorshkov B.G.*, *Taranov M.A.* // Laser Phys. Lett. 2018. V. 15. № 11. P. 115108. https://doi.org/10.1088/1612-202X/aad991
- 9. *Van Putten L.D., Masoudi A., Brambilla G.* // Opt. Lett. 2019. V. 44. № 24. P. 5925. https://doi.org/10.1364/OL.44.005925